

討14 回転水噴霧法による急冷 Fe-C-Si 合金粉末の製作と組織

大阪大学工学部○山内 勇、大中 逸雄、野村 康彦、松本 祐司、福迫 達一

1. 緒 言

Fe-C-Si 合金は鉄鉱として代表的な合金系であり、従来から鉄鉱の凝固現象の解明を主な目的として広く研究が進められてきた。しかしながら、最近、注目されている程度の速い冷却速度での凝固現象に関しては比較的研究は少ない。M.Cohen¹⁾らは、スプラット冷却された試料において準安定相 (ϵ 相) の生成を観察しているが ϵ 相生成におよぼす冷却速度の影響については明確にされてはいない。

一方、著者らは最近急速凝固粉末を製作する方法として回転水噴霧法を考案し、アルミニウム合金²⁾、Al 合金³⁾などに適用してきた。粉末の場合、形状、粒度分布、表面性状、および組織などは適用されるプロセスによって異なり、最終的に得られる成形品の性質もこれらの影響を受けると言わわれている⁴⁾。そこでスプラット冷却よりも冷却速度が遅いと思われる回転水噴霧法を本合金系に適用した場合の生成相および、生成相に及ぼす C, Si の影響、急冷組織の分解過程などについて調べた。これらのデータを蓄積することは、急速凝固法によって新しい材料を得る可能性を考える上でも重要なことである。

2. 実験方法

2.1 回転水噴霧装置

回転水噴霧 (RWA) 装置は Fig. 1 に示すようなものである。透明石英管内で高周波加熱溶解後、Ar 加圧によってノズル先端から噴射された溶融ジェットは回転ドラム内に遠心力によって形成される液体層に衝突し、分断されると同時にその液体によって冷却され急冷粉末が得られる。このように本法では微粒化と冷却が同時に行われるという特徴を持つ。

2.2 噴霧実験

本実験で使った試料は Table 1 に示すような Fe-1~5 mass% C-0~7 mass% Si 合金（一部未分析試料については推定値）である。これらはいずれも電解鉄、電極黒鉛および、半導体用高純度 Si から所定の組成に配合し、Ar 霧囲気中で高周波溶解後不透明石英管に吸引した。上記母材を約 20 g、先端に直径 0.5 mm の円形の穴をもつ透明石英製ノズルを使って約 1573~1763 K で約 283 K の水層に噴射した。噴射時の水層周速は大部分の実験において約 42 m/s で、一部 59 m/s とした。また、冷却速度を変える目的で一部の実験では流動パラフィンを使った。噴霧後、試料はただちに磁石によって回収後、メチルアルコールで洗浄し、真空乾燥した。

3. 実験結果および考察

3.1 粉末の特性

(1) 粉末の形状

一例として、Fig. 2 に示すように分けられた Fe-3C, Fe-3C-1Si の 74~110 μ m の粒度範囲にある粒子の SEM 観察による結果を示す。形状は Si を含まない場合ほぼ球状で

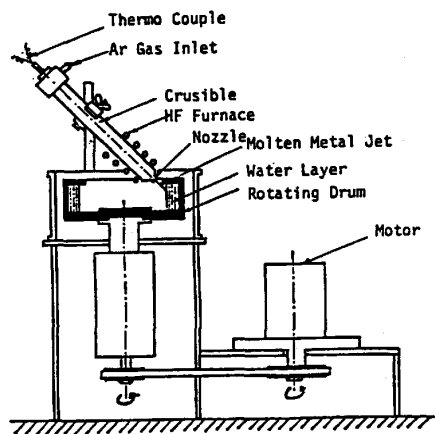


Fig. 1 RWA unit

Table 1. Composition of samples

| 1C (0.8, 0) | 2C (1.8, 0) | 3C (2.8, 0) | 4C (3.8, 0) | 5C (4.8, 0) |
|------------------------|------------------------|--------------------------|--------------------------|----------------------|
| | | 3C-0.5Si (2.98, 0.48) | 4C-0.5Si (3.80, 0.51) | |
| 1C-1Si (0.81, 1.00) | 2C-1Si (1.89, 0.94) | 3C-1Si (3.06, 0.95) | 4C-1Si (3.97, 1.00) | 5C-1Si (4.8, 1.0) |
| 1C-2Si (0.8, 2.0) | 2C-2Si (1.8, 2.0) | 3C-2Si (2.83, 2.01) | 4C-2Si (3.88, 1.98) | |
| 1C-3Si (0.91, 2.94) | 2C-3Si (1.89, 2.97) | 3C-3Si (2.83, 2.98) | 4C-3Si (3.89, 2.98) | 5C-3Si (4.8, 3.0) |
| 1C-4Si (0.8, 4.0) | 2C-4Si (1.84, 4.0) | 3C-4Si (2.88, 4.00) | 4C-4Si (3.7, 4.0) | |
| 1C-5Si (0.9, 5.0) | 2C-5Si (1.8, 5.0) | 3C-5Si (2.8, 5.0) | 4C-5Si (3.7, 5.0) | |
| 1C-6Si (0.8, 6.0) | 2C-6Si (1.8, 6.0) | 3C-6Si (2.8, 6.0) | 4C-6Si (3.7, 6.0) | |
| 1C-7Si (0.8, 7.0) | 2C-7Si (1.8, 7.0) | 3C-7Si (2.8, 7.0) | | |

(Mass%, Si mass%) : Analyzed composition

() : Expected composition

あったが、Siを含むと細長く伸びた形状となった。この形状に及ぼす因子としては、合金の表面張力、冷却速度、表面酸化膜の厚さなどが挙げられる。本実験の場合、C量の形状への影響は認められなかったが、Siを含まない場合、粒子の酸素量は約0.1%で酸化物は Fe_3O_4 であった。 Fe_3O_4 は表面張力による球状化を阻止するほどの強度を持っていないものと思われる。これに対して、Siが添加された場合 Fe_3O_4 が観察され難くなり、粒子の酸素量が著しく低下した。 SiO_2 を主体とするうすい酸化膜は実験結果から判断して凝固までの冷却中に表面張力による球状化を阻止するだけの強度を有しているものと推定される。

(2) 粉末の粒度分布

Fig.3に粒度分布を対数正規分布確率紙にプロットした結果を示す。粒度分布は $\text{Fe}_{40}\text{Ni}_{40}\text{B}_{20}$ 合金²⁾、Al合金³⁾の場合と同様に対数正規分布になり、従来のArアトマイズ法に比べて粒度分布の拡がりは小さくLHC法⁵⁾(Liquid Helium Cooling)と同じ程度である。その平均粒径(メディアン径)は約150 μmであった。また粒度分布はSiを含まないとやや微粒が増加する傾向を示した。

3.2 生成相とその分解挙動

得られた合金粉末のうち粒子径53~74 μmの範囲内にある粒子をCoα特性X線を使ってX線回折して生成相を同定した結果をFig.4に示す。たとえば1C-XSiの5Siまでの試料では初晶オーステナイトが晶出し、

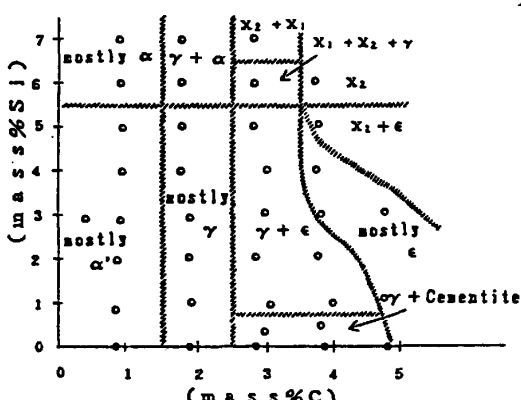


Fig.4 Map of rapidly quenched phases

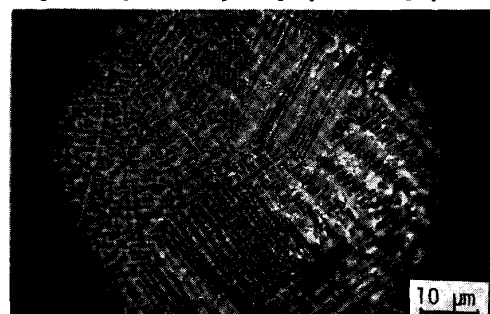


Fig.5 Austenite in Fe-2C-3Si

における試料のX線回折結果から、この発熱は過飽和オーステナイトのフェライトとセメントタイトへの分解によって生じた

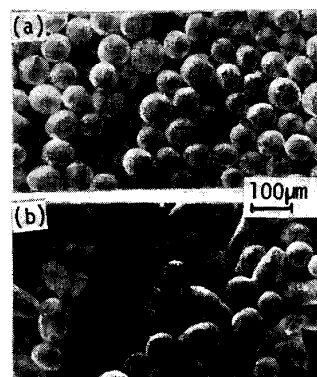


Fig.2 Shape of Particles

(a) Fe-3C (b) Fe-3C-1Si

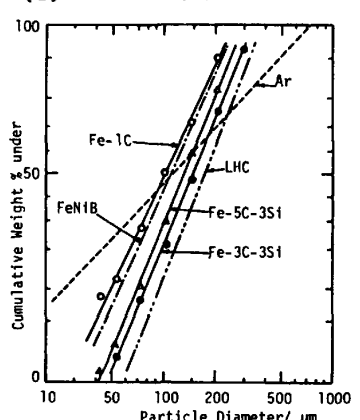


Fig.3 Size Distribution

の正方晶マルテンサイトが僅かの残留オーステナイトと共に観察される。フェライト安定型の元素であるSiが8%を越えると、初晶として、フェライトも生じ、その量はSi量と共に増加し、マルテンサイト量は減少する。オーステナイト安定型の元素であるCが多い2C-XSiの5%Siまではほぼオーステナイト単相になる。マルテンサイトがほとんど見られないのはオーステナイト中のC固溶量が1Cの場合とくらべて高くなり、Ms点が冷却水温以下になったためと思われる。Siが8%以上になると、フェライトも生じはじめる。また、わずかにマルテンサイトがオーステナイトとともに現れる。このマルテンサイトはオーステナイト中のSiの固溶量の増加に伴ないMs点が冷却水温以上に上昇したことによる可能性もある。Fig.5にFe-2C-3Siに見られる代表的なオーステナイトの光学顯微鏡組織を示す。組織は微細なラントリットであり、アーマ間隔は約0.8~1.0 μmであった。従来のデータ⁶⁾から冷却速度を外挿して推定すると、 $2 \times 10^5 \sim 5 \times 10^5 \text{ K/s}$ 程度となった。また、これらの試料についてDSC(示差走査熱量計)を使い、試料重量約5mg、昇温速度0.33K/sの条件で熱分析した結果をFig.6に示す。Siを含まない場合には約80

OK付近に大きな発熱ピークが認められる。この発熱反応前後に

ものであった。この分解は Si 量が増加すると高温側にずれ、Si がオーステナイトの分解温度を上昇させるという従来の結果と一致する。オーステナイトの格子定数におよぼす C の影響は Si の 10 倍程度大きいこと¹⁾、この場合の格子定数がほとんど同じであったことから C の固溶量は Si 量では変化しないと考えられる。したがって Si 4%付近で発熱量が最大となるのはオーステナイト中の Si 固溶度の影響によると思われる。3C-XSi になると数種類の生成相が観察されるようになる。Si を含まない場合は Fe₃O₄ の回折線が観察され、オーステナイトとセメントサイトが見られる。黒鉛安定化元素である Si を含まないために準安定セメントサイトが生成したものと考えられる。Si が 1% 以上になると、このセメントサイトは無くなりオーステナイトと準安定相である ε 相 (hcp) の 2 相混合組織になる。このように、Si は ε 相を生成しやすくする元素であり、Cohen らの結果¹⁾と一致する。オーステナイトの格子定数と C 固溶量との関係から 3C-XSi 系合金における C の固溶量は 2C-XSi 系の場合とほとんど変わらないようである。従って、Si 濃度が高い場合には 2C 系の場合とおなじく、オーステナイトからマルテンサイトが生じても良いようであるが 7%Si になるとオーステナイト、ε、フェライトいずれも観察されず、今までのところ構造が不明の X₁ および X₂ 相が観察された。この X₁ および X₂ 相は Fe-C, Fe-Si 2 元系の状態図には存在しない相であるが X₁ 相は、分解挙動が ε と類似していることから C をオーステナイト以上に固溶している相であると思われる。4C-XSi 系は基本的には 3C の場合と同じであるが、Si が 3%, 4% では大部分 ε 相になる。さらに、5%Si 以上では X₂ が見られるようになる。4C-3Si 合金でみられる代表的な ε 相の光学顕微鏡組織を Fig. 7 に示す。組織は葉脈状であり、小さなテンドリット状になっている。4C-XSi 合金の DSC

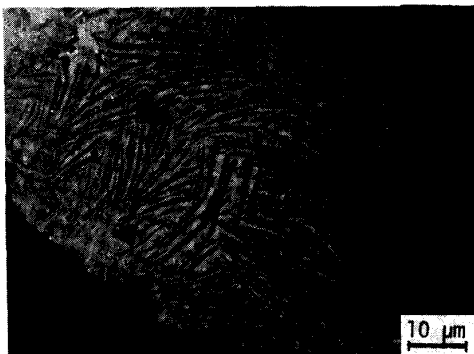


Fig. 7 ε phase in Fe-4C-3Si

うな回折線を観察し、同定は困難であるとしつつも、この分解が ε 相の ε 炭化物とマルテンサイトへの分解であるとしている¹⁾。また、ε に固溶した Si は分解温度を上昇させていることから、オーステナイトの場合と同様に ε 炭化物の析出を抑制する作用をしていると考えられる。さらに高温で ε 炭化物とマルテンサイトから、フェライトとセメントサイトが生成し、発熱を示す。X₂ 相のみで ε 相が認められない 6Si では低温での発熱ピークがなくなり、高温のピークだけになる。これ以外の実験でも X₂ 相の分解挙動は

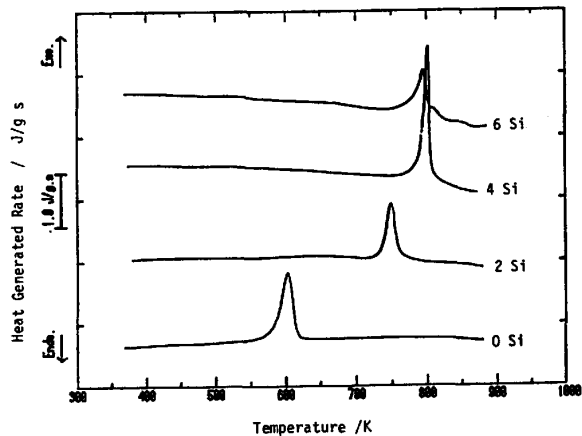


Fig. 6 DSC curves of Fe-2C-XSi
Heat Generated Rate / J/g s
Temperature / K

曲線を Fig. 8 に示す。ε 相の明確に現われた試料では、450 ~ 500 K 付近に一の発熱ピークが認められ、さらに高温の 780 ~ 800 K 付近で大きな発熱ピークが認められる。この低温での発熱ピークは反応後の X 線回折から ε の分解によって生じていることが明らかであるが、回折ではフェライト位置近傍にかなりプロードな回折像が生じ、分解生成相の同定は困難であった。しかし、Cohen らは同じよ

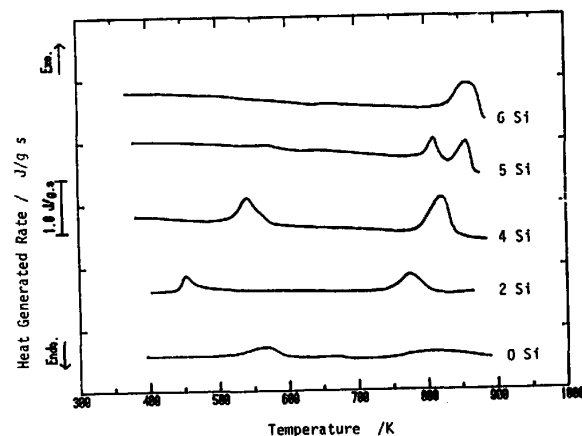


Fig. 8 DSC curves of Fe-4C-XSi
Heat Generated Rate / J/g s
Temperature / K

オーステナイトに類似していることから X_2 相はCを過飽和に固溶した固溶体であろうと推定される。5C-XSi系合金では1Si、3Siでほぼ全面的に ϵ になっており、 ϵ はCをオーステナイト以上に固溶しうる相であると言えよう。

3.3 生成相におよぼす冷却速度の影響

回転水噴霧法では一部の粒子は水層表面で跳ね返り、水層に侵入しない粒子があるため、粒子によっては微粒であっても冷却速度の遅いものが見られることがある。しかし、平均的には粒子が小さいほど、冷却速度が大きいと考えられる。そこで、異なる粒子範囲にあるFe-3C-5Si合金のDSC曲線を

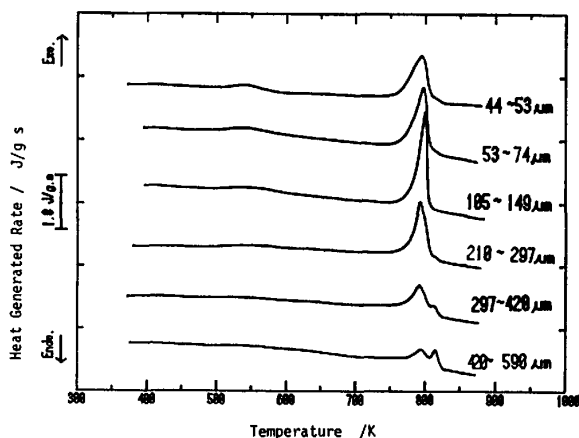


Fig. 9 Effect of particle size

Fig. 9に示す。420～590 μmの範囲にある粒子ではX線回折からオーステナイトが減少し、 X_2 が明確に認められた。800K付近に見られる2つのピークのうち低温側のピークはオーステナイトの分解によるものであり、高温側のピークは X_2 の分解によるものであると推定された。粒子径が大きくなるにつれて、オーステナイトが増加し、低温側のピークが高くなり、 X_2 が減少する。105～149 μmではほぼオーステナイト単相になり、さらに微粒の53～74 μmではあらたに ϵ 相が現れてくる。550K付近での小さいピークはこの ϵ 相の分解に対応している。以上のように、Fe-3C-5Si合金では冷却速度の遅いほうから X_2 、オーステナイト、 ϵ 相の順に生成しているようであった。この点を更に確認するために

冷却媒体として、塩化Mg水溶液と流動パラフィンを使って噴霧実験を行なった。冷却速度の遅い流動パラフィンの場合、X線回折から大部分 X_2 であり、周速度が速くなつて、冷却速度が大きくなると X_2 が減少し、オーステナイトが増加し、次第に ϵ 相が見られるようになる。最も冷却速度が速いと考えられる塩化Mg水溶液では、オーステナイトと ϵ 相のみが観察された。DSC曲線においても、それぞれ、 X_2 、オーステナイト、 ϵ 相の分解が観察され、前述の各相の冷却速度依存性を裏切るものであった。このような冷却速度依存性を準安定平衡状態図計算と動的過冷度計算などから理論的に説明することが今後の検討項目であろう。

3.4 回転液中筋糸法による細線の機械的性質

以上粉末で得られた結果を元に数種類の約130 μm径の細線を回転液中筋糸法で作成して機械的性質を調べた。その結果、マルテンサイト、 ϵ 相が生成している場合には伸びがほとんど無く、オーステナイトが多くなると伸びが上昇した。例えば、3C-5Siの場合、 ϵ 相を一部含むオーステナイトで伸び5%，引張強さ1100MPaのものが得られた。適切な冷却速度にして、オーステナイト単相にすれば更に伸びが上昇すると思われる。

4. 結 言

1. 平均径が約150 μmの粒子が得られ、形状は球的型で、Siを含まない場合には球形となった。
2. フェライト、セメンタイト、オーステナイト、マルテンサイトなどの他に準安定相の ϵ 、構造未知の X_1 、 X_2 などが急冷によって得られ、それらの冷却速度依存性および分解挙動についてについて一部推定できた。
3. Fe-3C-5Si合金で伸び5%，引張強さ1100MPaの急冷細線が回転液中筋糸法で得られた。

- 文献 1) M.Cohen et.al: Trans.AIME 245(1969),251 2) 大中ら: 日本金属学会誌 46(1982),1095
 3) 山内ら: 日本金属学会誌 47(1983),1016 4) 鈴木ら: 軽金属 32(1982),32
 5) 加藤ら: 鉄と鋼 71(1985),719 6) 鉄鋼基礎共同研究会編: 鉄鋼の凝固 (1977), 付3